

УДК 612.111+612.325+616.003

Н. А. Троицкая, Г. В. Кобозев, Е. И. Гончарова,
Г. А. Каминская

НЕКОТОРЫЕ ФОРМЫ АДАПТАЦИИ В СИСТЕМЕ КРОВИ К ЭКСТРЕМАЛЬНЫМ ВОЗДЕЙСТВИЯМ

Различные экстремальные факторы при действии на организм вызывают перестройку функций ряда систем и, в первую очередь, систем, обеспечивающих доставку кислорода: внешнего дыхания, кровообращения и системы крови. Из адаптивных реакций в системе крови наиболее изученными и легко обнаруживаемыми являются изменения форменных элементов крови и гемоглобина при гипоксии, кровопотере, травмах и других состояниях. Накоплены данные об изменении качественных свойств эритроцитов и гемоглобина: осмотической резистентности эритроцитов, интенсивности энергетического обмена, активности ферментов, сокращении срока созревания ретикулоцитов, цикла формирования и распада красных клеток крови, изменении сродства гемоглобина к кислороду [1].

При некоторых формах анемии наблюдается нарушение синтеза гемоглобина [2, 12], ускоренное созревание клеток в костном мозге и выброс в русло крови клеток, отличающихся большей способностью связывать кислород, но имеющих меньший срок жизни [10].

При таком возмущающем воздействии, каким является кровопотеря, приспособительная реакция организма выражается в том, что в первую очередь восстанавливаются белки плазмы крови, ответственные за такие жизненно важные константы, как онкотическое давление крови, тогда как восстановление эритроцитов и гемоглобина протекает в более поздние сроки [7].

Мы изучали, каким образом при столь сниженном содержании гемоглобина и эритроцитов достигается осуществление их кислородтранспортной функции и какие глубокие изменения происходят в системе крови.

Методика исследований

Опыты проведены на кроликах, у которых в течение 10 дней изучали динамику исходных показателей крови, после чего осуществляли кровопотерю. Из краевой вены уха выпускали 40% крови от общего содержания ее в организме, принятого равным 1/16 веса тела с заменой выпущенного объема равным количеством раствора Рингера—Локка. Восстановление изучали на протяжении 30 дней.

Количество гемоглобина и число эритроцитов измеряли в эритрограмметре, концентрацию общего белка — рефрактометрически, спектральную характеристику гемоглобина на двухлучевом записывающем спектрофотометре СФ-10. Спектрограммы расшифровывали по координатной сетке прибора и подставляли в эмпирические формулы, позволяющие вычислить долю гемоглобина и оксигемоглобина, а также их соотношение.

Для определения качественных изменений в составе гемоглобина и белках плазмы крови был использован метод электрофореза в полиакриламидном геле. Диск-электрофорез проводили по [3], средой служил 7,5% полиакриламидный гель с соотношением полимер — сополимер, близким к 1 : 19 и размерами пор 50 Å при pH 8,9. Инициировали процесс тетраметилэтилендиамином в присутствии катализатора — персульфата аммония. Полимеризацию геля и электрофорез проводили в стеклянных трубках, в которых на поверхность геля наносили исследуемый белок. Антиконвекционной средой служил 40% раствор сахара, которым разбавляли образец в отношении 1 : 1.

Каждая проба содержала 100 мкг белка в 0,02 мл раствора. Сверху насланывали трис-глициновый буфер рН 8,3.

Электрофорез длился 180 мин, при 3—4 мА на трубку. Для обнаружения белков гель после извлечения окрашивали амидовым черным 10 В (1% раствор в 7% уксусной кислоте).

Для характеристики гемоглобина использовали метод пептидных карт. Ферментативный гидролиз проводили трипсином в течение 43 ч при 37,5° С. Дансилирование проводили добавлением дансила-хлорида в гидролизат пептидов. Дансила-пептидные карты получены в результате двухмерной хроматографии, проводимой в перпендикулярных направлениях: в одном — троекратно в первой системе растворителей, состоящей из метилацетата, изопропанола и концентрированного аммиака (9:7:1,5), в другом — перпендикулярном, в системе хлороформ — бензиловый спирт — этилацетат — уксусная кислота (12:8:10:5).

Высушенные пластины просматривали по флюoresценции в ультрафиолетовом свете. Всего приготовлено 117 пептидных карт, по пять карт из каждой пробы крови. Все полученные цифровые данные обработаны статистически.

Результаты исследований и их обсуждение

Как было показано ранее [7], процесс восстановления гемоглобина после кровопотери протекает в две фазы: первая — дальнейшее падение концентрации гемоглобина на вторые и третьи сутки, вторая фаза — постепенное восстановление до исходных величин на 25—30 сут.

На рисунке 1 (IV) приведена типичная для гемоглобина спектрофотометрическая кривая с характерным для гемоглобина расположением полос при 576,540 и 560 нмк. По этим полосам можно рассчитать количество гемоглобина и оксигемоглобина в крови, а пользуясь эмпирическими формулами, полученными на модельных смесях, вычислить их соотношение [11, 14]. $Oxy\ Hb = (1,47 \cdot E_{576} - 0,68 \cdot E_{560} - 0,53 \cdot E_{540}) \cdot 10^{-4}$. $Deoxy\ Hb = (1,47 \cdot E_{560} + 0,21 \cdot E_{576} - 1,10 \cdot E_{540}) \cdot 10^{-4}$.

Анализ спектрофотометрических кривых свидетельствует о значи-

Формы адаптации

тельном снижении ко сутки, что сопровождается

Восстановление о на 22—25 сут этот прлученные результаты достаточной аэрации нях, нарушения структурующих эритроцитах, доказательством служит гемоглобина.

Таким образом, при гемоглобина гипоксия

Нами прослежены кроликов, так и резом на полиакриламидной геморрагии (см. таблицу).

До кровопотери (средняя величина), т. концу первых суток — постепенное повышение ходной на 22 сутки.

Методом электрофагии гемоглобина может быть определена подвижность и соответствующий фракция до 85,1%, и два уровня подвижности, отличающиеся составом соотв-

кровопотери в % к исходной

Время после кровопотери	Статистические показатели, n=10	Гемоглобин	Фракции гемоглобина			Белок
			A ₂	A ₁	A ₃	
2 ч	M	(10,1)*	(0,6)*	(3,6)*	(0,9)*	(7,5)*
	±m	73,2 4,1	87,8 5,4	72,5 4,8	92,0 7,7	82,7 5,9
1 сут	M	59,3	80,1	53,4	89,5	92,0
	±m	4,0	8,8	4,1	6,5	9,5
2 сут	M	60,2	76,1	56,7	65,2	93,3
	±m	3,5	9,9	3,3	6,3	7,5
3 сут	M	62,4	63,2	60,1	62,7	94,7
	±m	3,7	5,8	3,4	4,4	6,7
5 сут	M	71,5	74,3	70,4	69,8	100,0
	±m	3,5	7,6	3,5	6,8	5,4
10 сут	M	81,5	101,6	81,0	71,3	101,3
	±m	2,9	2,5	3,6	4,6	5,5
16 сут	M	96,6	100,1	94,7	95,1	100,0
	±m	1,7	5,0	2,8	4,3	4,4
22 сут	M	100,8		100,2	101,5	101,3
	±m	1,8		2,1	2,6	4,9

* Концентрация (г/100 г).

альбумин			
	1	2	3
77,0	77,0	77,7	
3,3	8,4	9,7	
84,6	103,7	89,0	
5,8	10,5	9,1	
96,5	132,3	97,0	
9,4	12,5	9,1	
94,6	126,0	92,0	
7,0	11,0	5,0	
100,0	131,5	110,0	
5,7	14,0	11,0	
102,4	118,0	108,0	
5,7	8,2	12,3	
105,7	118,0	116,0	
3,4	16,7	13,9	
106,5	107,0	104,0	
6,3	6,5	10,8	

тельном снижении концентрации оксигемоглобина на первые-вторые сутки, что сопровождается гипоксией.

Восстановление оксигенации крови начинается с третьих суток и на 22—25 сут этот процесс практически нормализуется (рис. 1). Полученные результаты могут быть следствием нескольких причин: недостаточной аэрации в легких, повышенной отдачи кислорода в тканях, нарушения структуры гемоглобина в старых, длительно циркулирующих эритроцитах, которые накапливаются в крови. Косвенным доказательством служит смещение максимума поглощения на спектре гемоглобина.

Таким образом, при кровопотере кроме снижения концентрации гемоглобина гипоксия усугубляется изменением его функции.

Нами прослежена динамика как общего гемоглобина у подопытных кроликов, так и его отдельных фракций, выявленных электрофорезом на поликариламидном геле в процессе регенерации после острой геморрагии (см. таблицу и рис. 1, I) [2].

До кровопотери концентрация гемоглобина составляла 10,1 г% (средняя величина), тотчас после кровопотери снижалась до 7,0, а к концу первых суток — до 5,9 г%. На вторые-трети сутки начинается постепенное повышение концентрации гемоглобина, достигающее исходной на 22 сутки.

Методом электрофореза на поликариламидном геле фракция гемоглобина может быть разделена на три подфракции, имеющие близкую подвижность и образующие на денситограмме один высокий пик, соответствующий фракции A₁, на долю которого в среднем приходится до 85,1%, и два уплощенных пика, имеющих электрофоретическую подвижность, отличающуюся от главной фракции: A₂ и A₃, доля которых составляет соответственно 6,4 и 8,5% [9].

кровопотери в % к исходной величине, принятой за 100 %

Фракции белков

альбумин	глобулины									
	1	2	3	4	5	6	7—8	9—10	11	12—13
77,0	77,0	77,7	80,0	85,0	108,0	72,0	80,0	74,0	76,0	
3,3	8,4	9,7	7,1	14,0	7,0	6,7	7,5	5,8	5,5	
84,6	103,7	89,0	95,0	173,0	116,0	209,0	144,0	89,0	106,0	
5,8	10,5	9,1	13,9	35,0	12,0	38,0	21,0	8,2	9,0	
96,5	132,3	97,0	105,0	164,0	100,0	177,0	195,0	83,0	99,0	
9,4	12,5	9,1	15,5	28,0	9,6	24,0	40,0	5,7	12,5	
94,6	126,0	92,0	104,0	147,0	94,0	168,0	136,0	83,0	109,0	
7,0	11,0	5,0	9,9	12,0	5,8	21,5	21,0	3,6	12,0	
100,0	131,5	110,0	117,0	141,0	102,0	100,3	83,0	84,0	125,0	
5,7	14,0	11,0	16,0	25,0	6,7	15,5	11,0	7,6	13,3	
102,4	118,0	108,0	114,0	130,0	97,0	96,4	136,0	104,4	118,0	
5,7	8,2	12,3	12,5	20,5	5,6	12,0	32,5	4,5	12,0	
105,7	118,0	116,0	118,0	132,0	112,0	91,2	132,0	107,0	108,8	
3,4	16,7	13,9	9,5	9,8	6,4	18,7	29,0	11,3	8,7	
106,5	107,0	104,0	96,8	120,0	109,0	93,2	177,0	109,0	106,0	
6,3	6,5	10,8	13,8	16,1	7,7	9,1	17,0	10,0	11,8	

При окраске амидошварцем (специфический краситель на белок), на фореграмме выявляется фракция, имеющая подвижность альбумина. Однако, тщательное и многократное отмывание эритроцитов в физиологическом растворе до гемолиза устранило сывороточный альбумин. Для идентификации этой фракции гелевый блок был окрашен

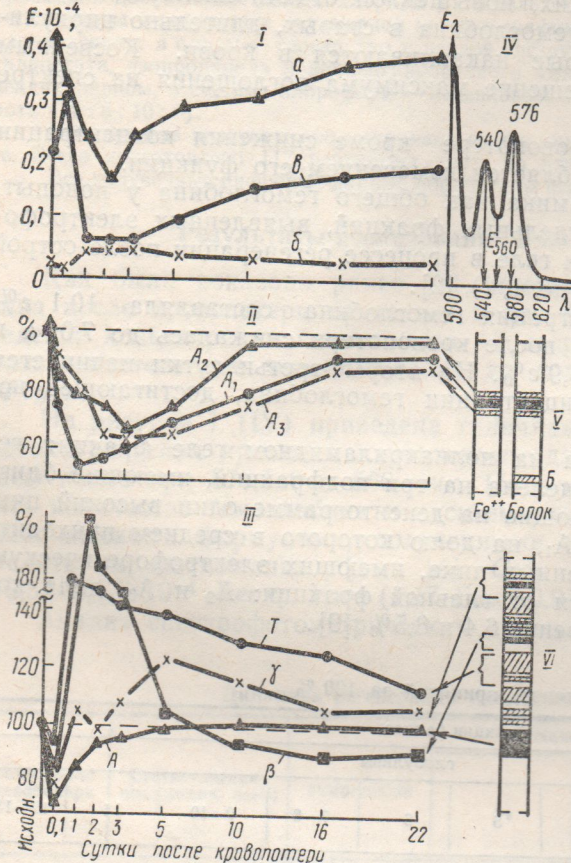


Рис. 1. Динамика регенерации гемоглобина и белков плазмы крови после острой кровопотери.
I — содержание в крови оксигемоглобина (a), дезоксигемоглобина (b) и их соотношение в разные сроки после кровопотери (e); II — восстановление фракций гемоглобина по данным электрофореза на поликариламидном геле: A₁, A₂, A₃; III — кривая восстановления фракций белков крови: альбумин (A), трансферрин (T), β-липопротеин (β), γ-глобулин (γ); IV — графики поглощения гемоглобина в видимом спектре длин волн; V — окраска электрофорограмм на железо и белок; VI — расположение полос на колонке поликариламидного геля.

бензидиновым реагентом, дающим специфическую окраску только на гемоглобин (рис. 1, V). Как видно из рис. 1, пероксидазной активностью обладали только фракции A₁, A₂, A₃.

Высказано предположение, что фракция Б принадлежит к белкам стромы эритроцитов, хотя это может быть альбумин, прочно адсорбированный эритроцитарной мембраной.

Как видно из таблицы, исходный гемоглобин 10,1 г% распределяется во фракции HbA₁ — 8,6 г%, HbA₂ — 0,6 г% и HbA₃ — 0,9 г%. Каждая из этих цифр принята за исходные 100%.

После острой кровопотери к концу 1 сут количество гемоглобина во фракции HbA₁ снизилось до 53,4 ± 4,1%, в то время как фракция HbA₂ составляла 80,1 ± 8,8%. На 5 сут содержание гемоглобина HbA₁ — 70,4 ± 3,5%, а HbA₂ — 74,3 ± 7,6%. К 10 суткам фракция HbA₂ достигла 101,6 ± 12,5%, в то время как фракция HbA₁ достигла исходного значения 100,2 ± 2,1% только на 22 сут.

Как видно из графика (рис. 1, II), минимальное снижение фракции HbA₁ наблюдается на 1 сут, а фракции HbA₂ только на 3 сут, затем происходит постепенное возвращение к исходным величинам. Та-

Формы адаптации

ким образом, приведенности гемоглобина не в физиологическом и

Дансилпептидные интактных животных
33 дансил-пептидных

В результате остидных наборах карт,

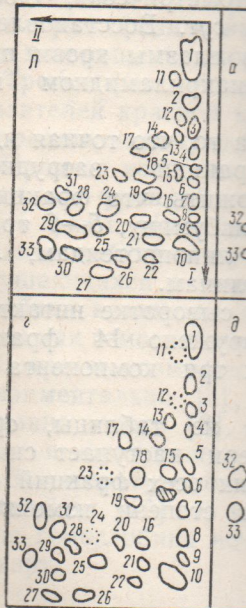


Рис. 2. Пептиды.
А — до кровопотери, а, б, потерии. Сплошная линия — исчезающие пептиды

фрагментов и появлены схемами дансил-пептид

Через 2—2,5 ч по четырем пептидов (9, 12, 13, 14) уже отсутствует пять поглощательно вторичные изменения в пептидных. Так, из 33 пептидов исчезают 24), число появившихся

В дальнейшем, на постепенного восстановления 22—30 сут дансил-пептидов гемоглобина животных.

Полученные результаты в структуре гемоглобина носят закономерный характер разрушения эритроцитарном гидролизе гемоглобина ряда пептидов. Возмож-

ким образом, приведенный материал позволяет говорить о гетерогенности гемоглобина не только в химико-структурном отношении, но и в физиологическом и патофизиологическом значении.

Дансилпептидные карты триптических гидролизатов гемоглобина интактных животных (до кровопотери) характеризуются наличием 33 дансил-пептидных фрагментов [8].

В результате острой кровопотери наблюдаются изменения в пептидных наборах карт, состоящие в исчезновении некоторых пептидных

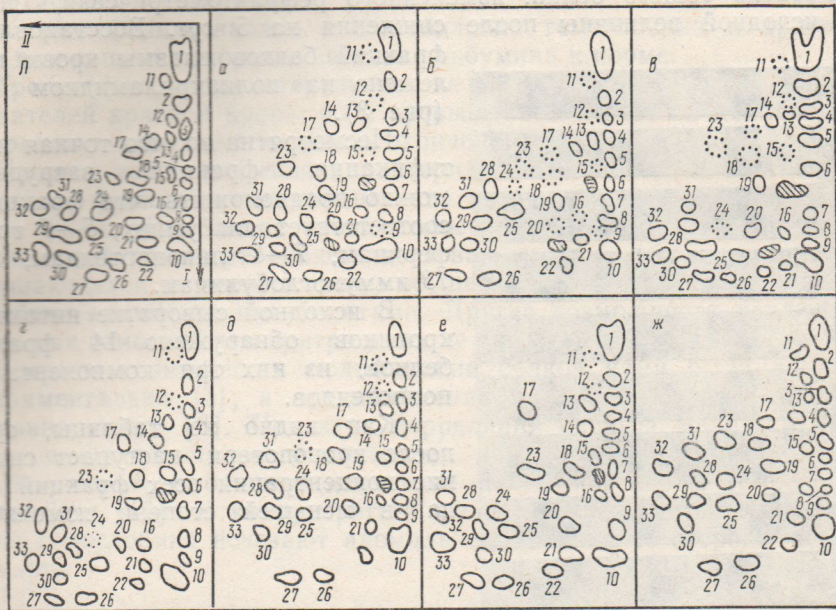


Рис. 2. Пептидные карты дансил-производных гемоглобина.

A — до кровопотери, *a*, *b*, *v*, *d*, *e*, *ж* — через 1, 2, 3, 5, 10, 16, 22 сут после кровопотери. Сплошная линия — контуры пептидов постоянно обнаруживаемых, пунктирная — исчезающие пептиды, заштрихованы — появляющиеся новые пептиды. I-II системы растворителей.

фрагментов и появлении новых. Полученные данные демонстрируются схемами дансил-пептидных карт (рис. 2).

Через 2—2,5 ч после кровопотери нами обнаружено исчезновение четырех пептидов (9, 12, 15, 17) и появление одного нового. Через 1 сут уже отсутствует пять пептидов (9, 11, 12, 15, 17) и появляется дополнительно второй новый фрагмент. Наибольшей остроты достигают изменения в пептидных наборах на вторые сутки после геморрагии. Так, из 33 пептидов исчезают десять (9, 11, 12, 15, 16, 17, 18, 20, 23, 24), число появившихся пептидов не меняется.

В дальнейшем, начиная с третьих — пятых суток, идет процесс постепенного восстановления прежнего характера пептидной карты, и к 22—30 сут дансил-пептидная карта полностью повторяет карту гемоглобина животных до кровопотери.

Полученные результаты свидетельствуют об изменениях в пептидной структуре гемоглобина после острой кровопотери. Эти изменения носят закономерный характер и являются результатом усиленного разрушения эритроцитов на ранних этапах регенерации крови. О частичном гидролизе гемоглобина может свидетельствовать исчезновение ряда пептидов. Возможно, осуществляется лигандирование гемоглоби-

на с какими-либо метаболитами. Например, при диабете в состав их включается глюкозоамин [13].

Следовательно, в крови продолжают циркулировать старые эритроциты и, наряду с этим, вследствие напряженного биосинтеза в кровь поступают молодые клетки с новыми формами гемоглобина, отличающимися первичной структурой — последовательностью аминокислот. Меняется окружение гема: был в гидрофобной, а стал в гидрофильной среде. Возможны и другие механизмы.

Уровень общего белка, измененного рефрактометрически, достигает исходной величины после снижения на 5 сут. Восстановление фракций белков плазмы крови прослежено на поликарбамидном геле (рис. 3).

Несмотря на то, что точная идентификация фракций затруднена, можно предположить, что фракция 1 соответствует альбумину, 5—6 трансферинам, 7—8 липопротеидам, 12—13 иммуноглобулинам.

В исходной сыворотке интактных кроликов обнаружено 14 фракций белков, из них три компонента липопротеидов.

Как видно из таблицы, сразу после кровопотери наступает снижение концентрации всех фракций белка, в меньшей степени изменяется

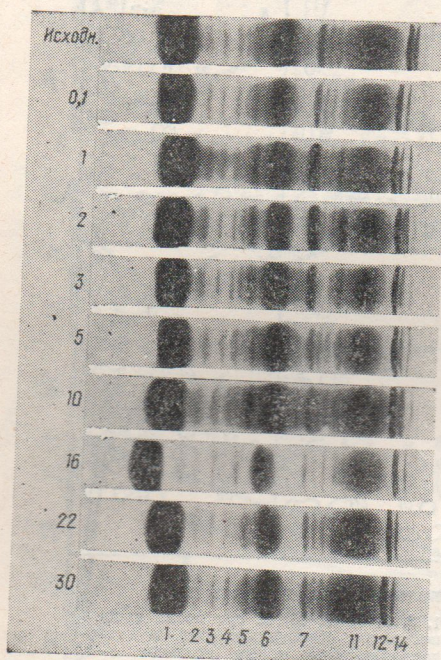


Рис. 3. Электрофорограммы белков плазмы крови на поликарбамидном геле в процессе восстановления после кровопотери.
По горизонтали: 1—14 — отдельные фракции белков.
По вертикали — сутки после кровопотери.

6, а затем наступает процесс восстановления, характеризующийся рядом закономерностей. Если построить кривые восстановления отдельных фракций, то обнаруживается, что восстановление альбумина идет по типу монотонной кривой, тогда как глобулины дают кривые с экстремумами (рис. 1, III, VI).

Как было рассчитано ранее, высокая скорость поступления альбумина в русло крови в первые дни связана с большей скоростью его биосинтеза, что было объяснено нами явлением конкуренции за аминокислотный фонд. Это физиологически оправдано, т. к. альбумин — белок, ответственный за восстановление онкотического давления, жизненно важной константы крови [7].

На электрофорограмме видно появление новых фракций в области глобулинов крови, начиная с первых суток после кровопотери. Фракции 5, 7, 8, 9, 10 резко увеличиваются, что по-видимому, отражает напряженность в транспортной функции белков крови. Фракция 6 может быть отнесена к трансферинам, она не несет транспортной функции, усиление которой после кровопотери связано с возросшей потребностью усиления синтеза (необходим приток строительного материала) и обнаруживает небольшие изменения в процессе регенерации. Липопротеиды резко увеличиваются.

Из приведенных отличается тремя че-

Первая фаза на-
на вторые-третьи су-
ви. Эта фаза ха-
альбумина, по-видим-
нием транспортной
связано с ускорен-
энергетического мате-

Вторая фаза —
тов и возвращение си-

Третья фаза —
показателей красной
цесс регенерации сле-

Процесс восстан-
отдельных фракций
первой фазы. Имею-
такх гемоглобина мо-
разрушающихся в п-
моглобина какими-то-
ся, так как гемоглоби-

Впервые возмож-
экспериментально [5]
высказано позже [6]
белков и функциона-
[4]. В литературе о
при диабете [13]. К
уровня гемоглобина и
ных карт.

Процесс регенера-
организма к неблагоп-
экспериментальные да-
этого процесса: восст-
рут с восстановление
изменениями в структу-

- Барбашова З. И. Новые тации к гипоксии. — Усп
- Истаманова Т. С. Нар мии. — Вопросы биоф. б
- Маур Г. Диск-электроф
- Ройтруб Б. А., Макарчук крові при різних станах укр. фізiol. товар-ва. Лы
- Троицкая Н. А. Изучени 1953, 18, № 2, с. 151—158
- Троицкий Г. В. О проис об-ва физиол., биохим., ф
- Троицкая Н. А. Изучени дис... докт. биол. наук.
- Троицкая Н. А. Кобозев ные карты гемоглобина рург., Харьков, 1974, 58, с

Из приведенных данных видно, что процесс регенерации крови отличается тремя четкими фазами.

Первая фаза начинается сразу после кровопотери и заканчивается на вторые-третьи сутки восстановлением онкотического давления крови. Эта фаза характеризуется резким увеличением восстановления альбумина, по-видимому, за счет усиления его биосинтеза и увеличением транспортной функции липопротеидов, что, возможно, также связано с ускоренным их биосинтезом и необходимостью доставки энергетического материала.

Вторая фаза — начало восстановления гемоглобина и эритроцитов и возвращение скорости синтеза альбумина к норме.

Третья фаза — характеризуется не только возвращением к норме показателей красной крови, но и превышением исходных данных. Процесс регенерации следует считать оконченным.

Процесс восстановления характеризуется сдвигами в соотношении отдельных фракций гемоглобина, что особенно выступает в конце первой фазы. Имеющиеся значительные изменения в пептидных картах гемоглобина могут свидетельствовать о том, что в эритроцитах, разрушающихся в первую фазу, осуществляется лигандирование гемоглобина какими-то метаболитами. Другие возможности исключаются, так как гемоглобин в эритроцитах не синтезируется.

Впервые возможность модификации белков нами была доказана экспериментально [5], а предположение о наличии здесь лигандов высказано позже [6]. Показана корреляция сдвигов макроструктуры белков и функционального состояния центральной нервной системы [4]. В литературе описано изменение пептидной карты гемоглобина при диабете [13]. К концу третьей фазы, вместе с восстановлением уровня гемоглобина исчезают аномальные явления со стороны пептидных карт.

Выводы

Процесс регенерации крови можно рассматривать как адаптацию организма к неблагоприятным условиям внешней среды. Приведенные экспериментальные данные свидетельствуют о строгой организации этого процесса: восстановление гемоглобина и эритроцитов коррелирует с восстановлением белков плазмы и характеризуется глубокими изменениями в структуре гемоглобина.

Литература

- Барбашова З. И. Новые аспекты изучения дыхательной функции крови при адаптации к гипоксии.—Успехи физiol. наук, 8, № 1, с. 3—18.
- Истаманова Т. С. Нарушение синтеза гемоглобина при некоторых формах анемии.—Вопросы биоф., биохим., патолог. эритроцитов. М., 1967, с. 9—14.
- Мауэр Г. Диск-электрофорез.—М., 1971.—274 с.
- Ройтруб Б. А., Макарченко А. Ф., Черненко А. П. Макроструктурні зміни білків крові при різних станах гіпоталамуса в експерименті.—В кн.: Матеріали 8 з'їзду укр. фізiol. товар-ва. Львів, 1968, с. 470—471.
- Троицкая Н. А. Изучение связи цитрала с белками сыворотки крови.—Биохимия, 1953, 18, № 2, с. 151—158.
- Троицкий Г. В. О происхождении α - и β -глобулинов плазмы крови. 9 съезд Всес. об-ва физiol., биохим., фарм. Минск, 1959, 3, с. 224—225.
- Троицкая Н. А. Изучение процессов регуляции уровня белков плазмы: Автореф. дис. ... докт. биол. наук.—Ростов, 1969.—44 с.
- Троицкая Н. А., Кобозев Г. В., Каминская Г. А., Лобанова Н. С. Дансила-пептидные карты гемоглобина крови в норме и после острой геморрагии.—Ургент. хирург., Харьков, 1974, 58, с. 56—58.

9. Троицкая Н. А., Кобозев Г. В., Гончарова Е. И. Изменение динамики регенерации гемоглобина и белков плазмы крови методом электрофореза в полиакриламидном геле. Патология крови, кровообращения и дыхания. Харьков, 1976, 70, с. 53—55.
10. Baum R., Bauer C., Bartel H. Influence of chronic and acute hypoxia on oxygen affinity and red celes 2,3-diphosphoglycerat of rats and guinea pig.—Respiration Physiol., 1971, 11, p. 135—144.
11. Benesch R. E., Benesch P., Yung S. Equations for the spectrophotometric analysis of hemoglobin mixtures.—Analyt. Biochem., 1973, 55, N 1, p. 245—248.
12. Lenfant C., Torrance I., English E., Finch C. A., Reynacarje C., Ramos F. Effect of altitude on oxygen binding, by hemoglobin and on organic phosphate levels.—J. Clin. Invest., 1968, 47, p. 2652—2655.
13. Rothschild M. A., Oratz M. Albumin synthesis and degradation.—Structure and function of plasma proteins. London, 1976, 2, p. 72—107.
14. Tomokazu Suzuki, Benesch R. E., Yung S., Benesch P. Preparative isoelectric focusing of CO hemoglobins on polyacrylamide gel and conversion to their oxy forms.—Analyt. Biochem., 1973, 55, N 1, p. 249—254.

Кафедра физиологии и кафедра общей химии
Крымского медицинского института

Поступила в редакцию
10.VII 1978 г.

N. A. Troitskaya, G. V. Kobozev, E. I. Goncharova,
G. A. Kaminskaya

SOME FORMS OF ADAPTATION TO EXTREME EFFECTS IN THE BLOOD SYSTEM

Summary

The process of blood regeneration after 40% blood loss was studied by the method of electrophoresis in polyacrylamide gel and that of finger-prints. It is shown that the process of protein regeneration occurs in three stages: at first albumin providing the oncotic blood pressure regenerates, then hemoglobin; the third stage is characterized by an excess of the initial level of all proteins. Dancil-finger prints of tryptic hydrolyzates of hemoglobin show considerable changes in the peptid structure: disappearance of certain peptides and appearance of new ones. The data presented and analysis of the spectrophotometric curves evidence for heterogeneity of hemoglobin not only in the chemical and structural but also in the physiological aspect. The changes obtained are considered as an adaptation to blood loss.

Department of Physiology
and Department of General Chemistry,
the Crimean Medical Institute

УДК 616—001.17—092—06:616.3

НЕКОТОРЫЕ ФОРМЫ АДАПТАЦИИ К ЕСТЕРЬЯМ ПЕРИФЕРИЧЕСКОЙ КРОВИ У КРОЛИКА

Недостаточность кровообращения вызывает изменения механизмов неизменений реактивности тканей, за-
быть обусловлено из-за недостаточности лейкопоэза [3]. Одн-

Учитывая то, что лейкоциты с лейкоцитами [4], а также инсулинообразование свойств лейкоцитов ствии термического разогрева линовой недостаточности

Опыты проведены на крысах подопытные. У десяти крыс уменьшение кислорода в коже боковых повреждений с водой 80° С (площадь животного такое же раза, вызванном внутривенным достаточности инсулиноса 250 мг% сахара), уменьшается

В периферической ки-
лиза и осмотическую рези-
риоцитов, парциальную м-
введение аллоксанда и че-
жителя. Количество лейко-
мозга подсчитывают в ка-
деляли в лейкоконцентрате по [5]. В мазках костных
шленных по Романовскому подсчете 200 миелоидных
цитов на 200 миелокарной
АГ-1; потребление кислорода
в мкл/мг за 1 ч в пересчете
муле Петерса с использованием
стоверные при $p < 0,05$.

Результаты

Недостаточность кислорода снижением осмотичности на 30 мин после взятия (при $p < 0,02$), уменьшение количества тканей на $0,12 \pm 0,02$ (при $p < 0,05$).